要約版

川崎製鉄技報

KAWASAKI STEEL GIHO

Vol.7 (1975) No.1

溶接構造用鋼の低サイクル疲労特性

Low Cycle Fatigue Properties of Structural Steels

田中 康浩(Michihiro Tanaka) 松本 重人(Shigeto Matsumoto) 船越 督己(Tokushi Funakoshi) 西山 昇(Noboru Nishiyama)

要旨:

造船用鋼から調質高張力鋼にいたる 7 種の鋼材の母材および溶接継手についての低サイクル疲労特性をとりまとめている。各鋼材についてのひずみ制御低サイクル疲労試験で成立する Manson-Coffin の関係 \in ·Nk=C の定数および指数を求め、これらと静的引張特性の関係を検討した。また、ひずみ制御試験時のひずみ繰返しにともなう応力変化を測定し、繰返し硬化あるいは軟化挙動と鋼材との対応を明確にした。さらに、亀裂伝播寿命の全疲労寿命に対する割合をもとめた。なお、供試鋼材すべての疲労特性は ASME Code Sec.III ボイラーおよび圧力容器規則に対して十分安全側にあることを確認した。

Synopsis:

Low cycle fatigue properties are described on various structural steel plates used for ship hulls, pressure vessels, civil structures, etc. A so-called Manson-Coffin relation, $\in \cdot N^k = C$, was established for strain controlled fatigue tests The correlation between material constants k and C and tensile properties are discussed. Cyclic hardening and softening during the strain controlled tests are observed. Also, a ratio of crack-propagation life to fatigue life is obtained. All materials used in this experiment clearly satisfy the ASME section III code for boiler and pressure vessel.

(c) JFE Steel Corporation, 2003

本文は次のページから閲覧できます。

溶接構造用鋼の低サイクル疲労特性

Low Cycle Fatigue Properties of Structural Steels

田 中 康 浩*

松 本 重 人**

Michihiro Tanaka

Shigeto Matsumoto

船 越 督 已***

西 山 昇****

Tokushi Funakoshi

Noboru Nishiyama

Synopsis:

Low cycle fatigue properties are described on various structural steel plates used for ship hulls, pressure vessels, civil structures, etc. A so-called Manson-Coffin relation, $\epsilon \cdot N^k = C$, was established for strain controlled fatigue tests. The correlation between material constants k and C and tensile porperties are discussed. Cyclic hardening and softening during the strain controlled tests are observed. Also, a ratio of crack-popagation life to fatigue life is obtained. All materials used in this experiment clearly satisfy the ASME section III code for boiler and pressure vessel.

1. 緒 言

圧力容器,船舶などの溶接構造物の構造的な不連続部や溶接欠陥部は,応力集中あるいは残留応力の重量により,局部的に高い繰返し応力を受ける。このような状態では,高応力繰返しによる破壊,いわゆる低サイクル疲労破壊が生ずることがあきらかになり,低サイクル疲労に関する研究がさかんになっている^{1,2)}。本報では,船舶用50kg/mm²級綱および当社の代表的な溶接構造用鋼である調質高張力鋼,原子炉圧力容器用鋼などの母材と溶接部についてのひずみ制御低サイクル疲労特性をとりまとめている。

2. 供試材および試験方法

2.1 供試材

供試材の化学成分を **Table 1** に示す。鋼種は 7種であり、50kg/mm² 級造船用鋼の圧延のまま (K5D) および焼ならし材 (K5E), 60 kg/mm² 級調質高張力鋼 (RIVER ACE 60), 70 kg/mm² 級調質高張力鋼 (RIVER ACE 70), 80 kg/mm² 級調質高張力鋼 (RIVER ACE K-O), 原子炉圧力容器用鋼 (ASME SA 533) および 極低温構造用鋼 (KLN 9)³⁾ である。 板厚は RIVER ACE 70 (50mm), SA 533 (240mm), KLN 9 (30mm) 以外はすべて 35mm である。

^{*} 技術研究所厚板研究室主任研究員

^{***} 技術研究所厚板研究室室長・工博

^{**} 技術研究所厚板研究室

^{****} 技術研究所溶接研究室主任研究員

0.37

| | Table | 1 Ch | iemical | compo | osition | of the | materi | als use | :d | | | (wt% | 6) |
|--------------------------|----------------------------|------|---------|-------|---------|--------|--------|---------|------|------|-------|-------|------|
| Steel | Plate thickness (mm) | С | Si | Mn | Р | s | Cu | Ni | Cr | Мо | v | В | Ceq. |
| K5D | 35 | 0.16 | 0.43 | 1.30 | 0.020 | 0.014 | | | _ | | - | - | 0.40 |
| K5E \ | 35 | 0.15 | 0.35 | 1.36 | 0.019 | 0.009 | | | _ | | ļ ļ | | 0.39 |
| RIVER ACE 60 (HW 50) | 35 | 0.14 | 0.41 | 1.20 | 0.020 | 0.009 | 0.01 | 0.38 | 0.04 | 0.07 | 0.039 | | 0.40 |
| RIVER ACE 70 (HW 63) | 50 | 0.11 | 0.25 | 0.82 | 0.012 | 0.010 | 0.20 | 1.03 | 0.42 | 0.34 | 0.029 | 0.003 | 0.45 |
| RIVER ACE K O (HW 70) | 35 | 0.14 | 0.30 | 0.85 | 0.005 | 0.006 | 0.24 | 1.18 | 0.44 | 0.49 | 0.044 | 0.004 | 0.51 |
| SA533 | 240 | 0.18 | 0.26 | 1.37 | 0.011 | 0.006 | 0.01 | 0.67 | 0.11 | 0.54 | | | 0.59 |

 $0.007 \mid 0.007 \mid$

Ceq. = C + Mn/6 + Si/24 + Ni/40 + Cr/5 + Mo/4 + V/14 (%)

0.05 | 0.21

0.50

30

2.2 試 験 片

KLN93)

低サイクル疲労試験片の形状,寸法を Fig. 1 に示す。KLN9については最小断面部径 10mmのものを用いている。試験片は理論応力集中係数 K_t が 1.06 となる砂時計型であり,応力軸方向が圧延方向と一致するように,SA533 以外の素材については板厚中央部(½t)から,SA533 については ½t 部とともに板厚 ½t 部からも採取した。また,溶接継手試験片は溶接金属の中央部が最小断面部になるようにした。これらはいずれも日本溶接規格(WES-162-1970)に準じたものである。また,疲労試験に先立って実施した静的引張試験では,上記疲労試験片のほか JIS4 号サブサイズ型($7mm\phi$)も用いた。なお,低サイクル疲労試

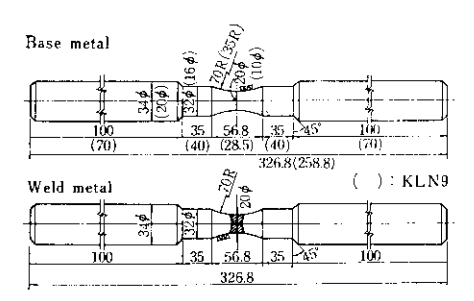


Fig. 1 Shape of specimens (Elastic stress concentration factor K_t =1.06)

験片について は 砂 時 計 部 を エ メリーペーパー (#800)で研摩した。溶接継手試験はK5D, RIVER ACE 60, RIVER ACE K-O について行い, その 溶接条件を Table 2 に示す。

Table 2 Welding conditions for test pieces

| Steel | Shape of groove and welding method | Welding material | Welding position | Welding current | Arc voltage (V) | Welding speed (mm/min) | Pre-heat and interlayer temp. (°C) | Heat imput (kJ/cm) |
|------------------|--|---|---------------------|-----------------|-----------------------|------------------------------|---|--------------------|
| K5D | Arc air | $(ASTM)$ $(E7016)$ $(Amm\phi)$ $(Bmm\phi)$ | Flat | 170~230 | 24 | 120 | 100~120 | 20~28 |
| RIVER ACE | Arc air | $KS-86$ $(ASTM)$ $(E 8016 G)$ $4mm\phi$ and $5mm\phi$ | Flat | 170~230 | 24 | 120 | 120~140 | 20~28 |
| RIVER ACE K-O | m Are air | $(ASTM)$ $(E11016G)$ $(Amm\phi)$ and $(5mm\phi)$ | Vertical | 150~170 | 30 | 75 | 130~150 | 36~41 |

2.3 試験方法

静的引張試験は、JIS4号 サブサイズ型試験片 については10t インストロン試験機を用い,また, 砂時計型低サイクル疲労試験片については50 t 万 能材料試験機を用いて行った。疲労試験は±50 t 電気油圧式低サイクル疲労試験機(鷺宮製作所製) を用い、試験片の最小断面部にとりつけた径方向 ひずみ検出器の出力が一定になるよう制御して実 施した。

制御するひずみは、砂時計型試験片の最小断面 における直径方向対数ひずみの最大値と最小値で あり、ひずみ量は次式で定義される。

> $\ln d_{\rm o}/d_{\rm t} = \ln d_{\rm e}/d_{\rm o} = \epsilon_{\rm ta}^{\rm (d)}$(1)

ここに, do:試験片の最小断面部の原直径

d::試験片の最大引張時の直径

de:試験片の最大圧縮時の直径 ϵ^(d):直径方向対数全ひずみ振幅

なお、ひずみ波形は正弦波であり、最小ひずみと 最大ひずみの比すなわちひずみ比は常に -1 (完 全両振)とした。繰返し速度はひずみ量の大きい 場合には 0.6 cpm, 小さい場合には 5 cpm であ る。すべての試験は引張側よりひずみサイクルを 開始した。疲労試験中の荷重ならびに試験片最小 断面の直径変化を X-Y レコーダーに記録し、繰 返しにともなう荷重振幅の変化の挙動を調べた。 試験は試験片が完全な破断にいたるまで続行し、 試験中肉眼あるいは3倍率のルーペで試験片表面 の観察を行い、はじめて疲労亀裂(可視亀裂)を 検出した繰返し数 (N_c) および破断した繰返し数 (N_c) を記録した。破断後の試験片の破面と 外観 を観察し、一部の破面については走査型電子顕微 鏡による観察を行った。

3. 試験結果

3·1 静的引張試験結果

Table 3 に JIS4 号サブサイズ型引張試験片, および砂時計型低サイクル疲労試験片の静的引張 試験結果を示す。低サイクル疲労強度を支配する 因子として降伏比,加工硬化係数,絞り,伸び, 静破壊延性および真破断応力が考えられるが、引 張強さが大きくなるにつれて絞り、伸び、加工硬 化係数はしだいに低下し, また, 降伏比は増加す る。このことは母材、溶接継手ともに同様の傾向 を示している。JIS4号サブサイズ引張試験片と 砂時計型引張試験片による試験結果を 比 較 す る と,後者は塑性拘束があるため,母材については 引張強さ、降伏点がやや増加し、絞り、静破壊延 性は低下している。

3.2 ひずみ制御低サイクル疲労試験結果

一般に真応力と対数ひずみに関し、フックの法 則が成立するとすれば、径方向対数弾性ひずみ振 幅 cocconのこれではの関係がある。

Hour glass type specimen

| | <u> </u> | | · · · · · · · · · · · · · · · · · · · | JIS 4 | type spec | imen (7mm | | | | _ |
|-------|----------|----------------------------------|---------------------------------------|-----------------|-------------------|----------------------|----------------------------|-------------------------------|-----------------------|---|
| Steel | Position | Yield point σ _y | Tensile strength | Elongation € | Reduction of area | Yield ratio σy/σα | True fracture stress | Work hardening exponent | Fracture ductility | |

| | | I | | , | | | 17 | | | 1 | | _ | | | |
|-----------|----------|-------------------------|--|----|-------------------|--|---|-------------------------------------|-----------------------|---|------------------------------|----------------------------------|-----------------------------|--|------------------------------|
| Steel | Position | point σ _y | Tensile strength σ _u (kg/mm ^t) | Ē | Reduction of area | Yield ratio σ _y /σ _e (%) | True fracture stress σ_f (kg/mm ²) | Work hardening exponent n* | Fracture ductility | Yield point or (kg/mm ²) | strength σ _u , | Reduction of area \$\psi\$ | Yield ratio σy/σu (%) | True fracture stress or (kg/mm²) | Fracture ductility **C |
| K5D | 1/2 t | 34.6 | 54.0 | 28 | 75 | 64 | 129.6 | 0.208 | 1.375 | 36.4 (51.2) | 55.6 (64.3) | 72 (66) | 65 (80) | 126.0 (130.4) | 1.071 |
| K5E | 1/2 t | 35.2 | 53.7 | 32 | 76 | 66 | 135.7 | 0.238 | 1.430 | 39.4 | 58.4 | 74 | 69 | 130. 2 | 1. 127 |
| RIVER ACE | E 1/4 t | 54. I | 63.6 | 22 | 76 | 85 | 146.3 | 0.121 | 1.440 | 56,3 (61.2) | 68. 8 (72. 0) | 66 (56) | 82 (85) | 137.8 (126.2) | 1. 109 (0. 824) |
| RIVER ACE | E 1/2 t | 65, 8 | 72.6 | 16 | 71 | 91 | 142.3 | 0.108 | 1,221 | 66, 8 | 76.4 | 58 | 87 | 132.6 | 0.892 |
| RIVER ACE | E ½ t | 79.9 | 86.0 | 17 | 71 | 93 | 168.3 | 0.087 | 1.252 | 87.7 (86.6) | 93.0 (94.6) | 64 (53) | 94 (92) | 162.5 (154.7) | 0.955 (0.638) |
| | y, t | 50.6 | 62.9 | 29 | 71 | 80 | | 4 | - | 55.1 | 68.7 | 64 | 80 | 125.5 | 1.008 |
| SA533 | 1/2 1 | 49.5 | 62.5 | 29 | 73 | 79 | | İ – | | | _ | _ | | _ | |
| KLN9P | ½ t | 62.9 | 72.3 | 31 | | 87 | _ | | | 69.7 | 78. 7 | 69 | 89 | 166.6 | 1,178 |

Table 3 Results of tension test

^{**:} $\epsilon_1 = \ln 100/(100 - \phi)$

^{():} Weld metal

$$\epsilon_{\rm ea}^{\rm (d)} = \nu \cdot \sigma_{\rm R}/2E$$
(2)

ここに、 $\epsilon_{\mathrm{ea}}^{(\mathrm{d})}$:径方向対数弾性ひずみ振幅

σ_R: 亀裂発生直前の真応力範囲

E: 縦弾性係数 (21 000kg/mm²)

ν:ポアソン比(0.3)

また,径方向対数全ひずみ振幅 $\epsilon_{ta}^{(d)}$ は, $\epsilon_{ea}^{(d)}$ と 径方向対数塑性ひずみ振幅 $\epsilon_{pa}^{(d)}$ の和であるから,次の関係がある。

$$\epsilon_{\rm pa}^{\rm (d)} = \epsilon_{\rm ta}^{\rm (d)} - \nu \cdot \sigma_{\rm R} / 2E$$
 (3)

したがって,径方向対数塑性ひずみ振幅から軸方 向対数塑性ひずみ振幅 ϵ_{pa} への換算は,体積一定 の仮定のもとに次式から計算できる。

$$\epsilon_{\rm pa} = 2 \epsilon_{\rm ta}^{\rm (d)} - \nu \cdot \sigma_{\rm R}/E$$
(4)

一方, 軸方向対数弾性ひずみ振幅 ϵ_{ea} は次式となり,

$$\epsilon_{\rm ea} = \sigma_{\rm R}/2E$$
(5)

したがって、軸方向対数ひずみ振幅 ϵ は、

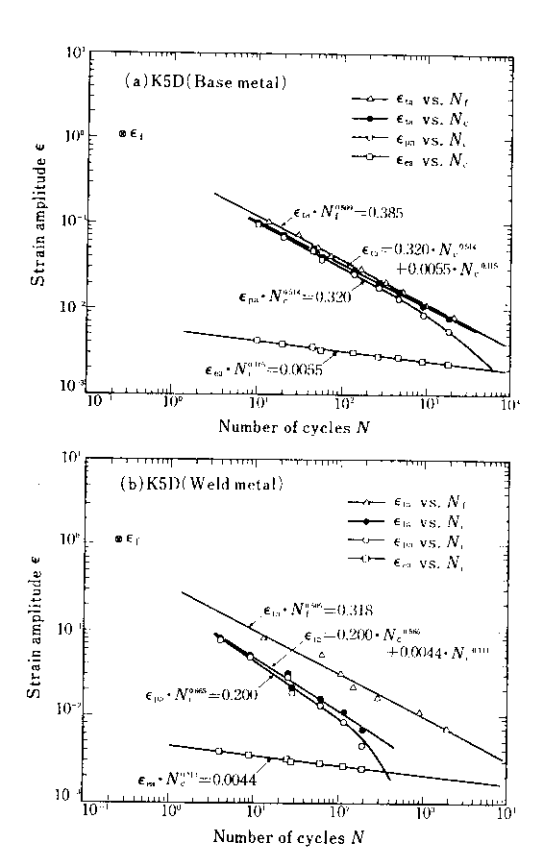


Fig. 2 ϵ -N curves of K5D

$$\epsilon_{\rm ta} = \epsilon_{\rm pa} + \epsilon_{\rm ea} = 2 \epsilon_{\rm ta}^{\rm (d)}$$

 $+(lag{1}{2}u)\sigma_R/E$ …………(6) で求められる。各鋼の母材および溶接継手に関する軸方向真ひずみ全振幅 ϵ と亀裂発生 回数 (N_c) および破断回数 (N_c) との関係を $Fig.\ 2\sim Fig.\ 8$ に示す。図よりわかるように、本試験範囲では全

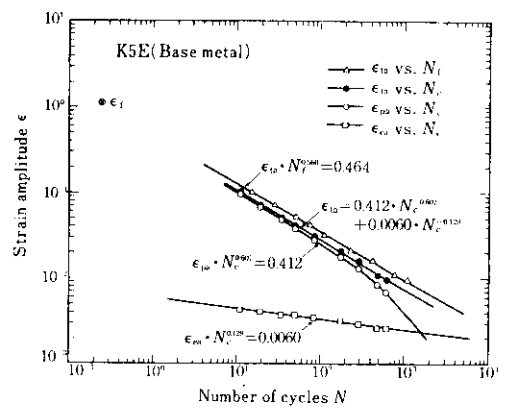


Fig. 3 ϵ -N curves of K5E

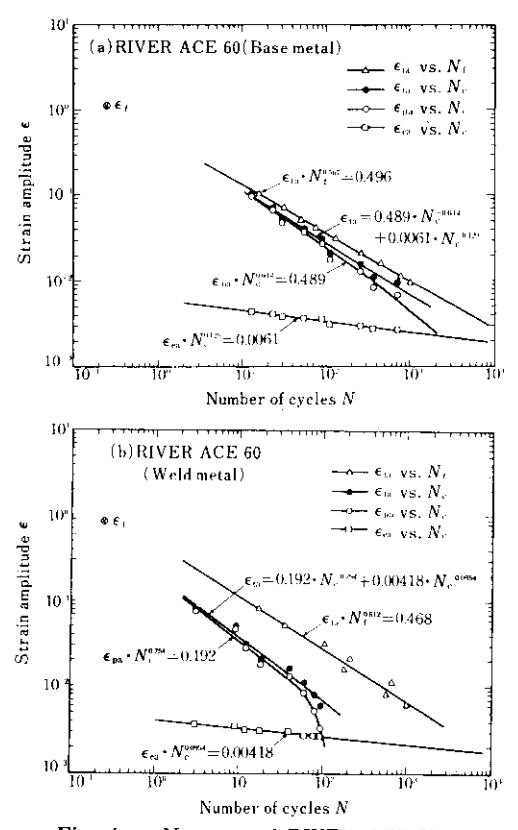


Fig. 4 ϵ N curves of RIVER ACE 60

般的にクラックの発生回数 N_c が母材については約200回以上、溶接継手については約70回以上になると ϵ_{pa} はしだいに小さくなり、直線関係が成り立たなくなるが、直線関係を示している部分については、次の Manson-Coffin の関係式が成り立つ。

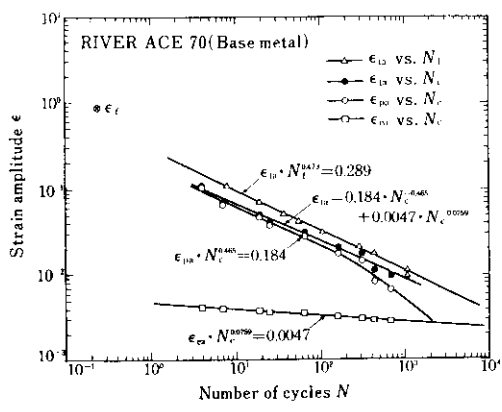
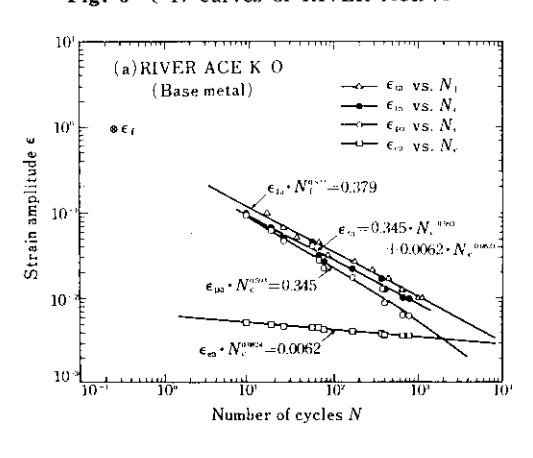


Fig. 5 ϵ -N curves of RIVER ACE 70



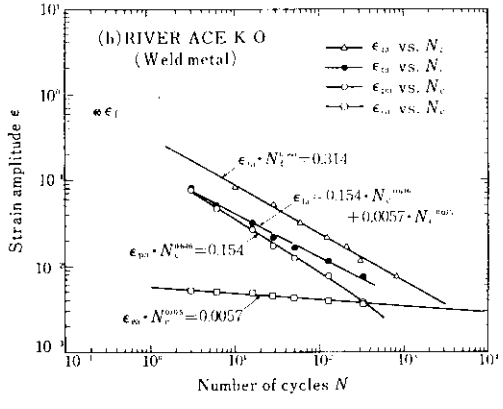


Fig. 6 (-N curves of RIVER ACE K-O

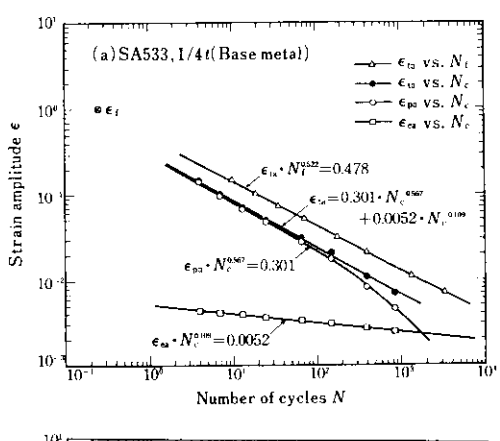
$$\epsilon_{\mathrm{pa}} \cdot N_{\mathrm{e}}^{kp} = C_{\mathrm{p}}$$
(7)

$$\epsilon_{ea} \cdot N_c^{ke} = C_e \qquad \cdots (8)$$

したがって εta は,

$$\epsilon_{
m ta} = C_{
m p} \cdot N_{
m c}^{-k_{
m p}} + C_{
m e} \cdot N_{
m c}^{-k_{
m e}} - \cdots (9)$$
で表わされる。各鋼についての材料定数 k および

C を **Table 4** にまとめて示す。C 他線でとくにめだつ特徴は、溶接継手の亀裂発生までの繰返



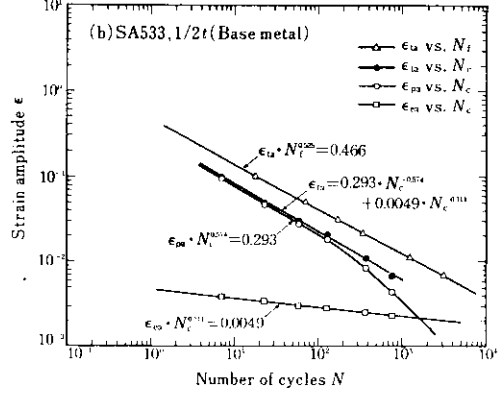


Fig. 7 ϵ -N curves of SA533

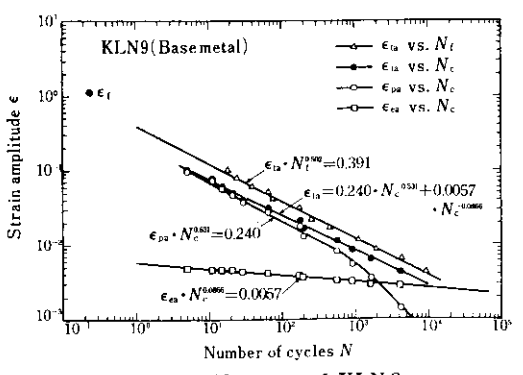


Fig. 8 ϵ -N curves of KLN 9

| Steel | | Exponent k | | | | | | Constant C | | | | | ! ! | |
|---------------|-------|------------|-------------------|-------------------|-------------------|-----------------|-----------------|-------------------|--------|-------------------|-------------------|-------------------|---------|--------|
| | | k_{f1} | k_{ct} | k_{fp} | k_{ep} | k _{fe} | k _{ce} | C_{ft} | Cet | C_{fp} | C_{ep} | C_{fe} | Cce | €Ù |
| | В. М. | 0.509 | 0.489 | 0.537 | 0.514 | 0.120 | 0. 115 | 0. 385 | 0.316 | 0.398 | 0. 320 | 0.0057 | 0.0055 | 1.071 |
| K5D | W.M. | 0.505 | 0.621 | 0.580 | 0.665 | 0.090 | 0.111 | 0.318 | 0.198 | 0. 391 | 0.200 | 0.0048 | 0.0044 | 1.075 |
| K5E | В. М. | 0.560 | 0.576 | 0.614 | 0.607 | 0.125 | 0.129 | 0.464 | 0.402 | 0. 528 | 0.412 | 0.0062 | 0.0060 | 1. 127 |
| RIVER ACE 60 | | 0.567 | 0.608 | 0.604 | 0.644 | 0. 121 | 0.129 | 0.496 | 0.453 | 0.528 | 0.489 | 0.0062 | 0.0061 | 1.109 |
| | W. M. | 0.612 | 0.733 | 0. 726 | 0.754 | 0.082 | 0.095 | 0.468 | 0. 204 | 0.664 | 0. 192 | 0.0047 | 0 0042 | 0.824 |
| RIVER ACE 70 | В. М. | 0.473 | 0.446 | 0.507 | 0.465 | 0.080 | 0.076 | 0. 289 | 0.190 | 0. 299 | 0.184 | 0.0051 | 0.0047 | 0.892 |
| DIVED ACE K O | | 0.522 | 0.515 | 0.566 | 0.593 | 0.083 | 0.082 | 0.379 | 0.296 | 0.403 | 0.345 | 0.0065 | 0. 0062 | 0. 955 |
| RIVER ACE K-O | W. M. | 0.560 | 0.566 | 0.692 | 0.646 | 0.082 | 0.075 | 0.310 | 0.149 | 0.438 | 0.154 | 0.0065 | 0.0057 | 0.638 |
| SA533 | В. М. | 0.522 | 0.554 | 0.562 | 0.567 | 0.103 | 0.109 | 0.478 | 0.311 | 0.518 | 0.301 | 0.0056 | 0.0052 | 1.008 |
| | В. М. | 0.525 | 0.564 | 0.565 | 0.573 | 0. 103 | 0. 111 | 0.466 | 0.308 | 0.510 | 0. 293 | 0.0053 | 0.0049 | _ |
| KLN93) | В. М. | 0.502 | 0.478 | 0.635 | 0.531 | 0.091 | 0. 087 | 0.391 | 0. 226 | 0.618 | 0.240 | 0.0063 | 0.0057 | 1.178 |

Table 4 Material constants of Manson Coffin's equation $\epsilon \cdot N^k = C$ for various steels

B. M.: Base metal W. M.: Weld metal

し数 (N_o) が母材のそれとくらべ著しく小さいことであり、これは溶接部に存在する微小欠陥が亀裂発生源となったためと考えられる。しかし破断までの繰返し数 N_r は母材とほぼ同等である。

4. 考 察

4·1 静的引張特性と低サイクル疲労特性 との関係

低サイクル疲労強度と静的引張特性との間には 密接な関係が存在し、それらの相関関係について は Manson⁴ をはじめとして多くの人の研究報告 がある。ここではこれまでに得られた結果より、 静的諸特性と低サイクル疲労特性との間にどのよ うな関係があるかを主として母材について調べ た。

(1) 静的引張特性と Manson-Coffin の式の定数

弾性ひずみ振幅 ϵ_{ca} と疲労寿命 N との関係において,定数 C_{e} の値は静的引張強さ σ_{u} と相関関係があるとされている。 Manson は N_{f} 基準の C_{fe} を $1.75\sigma_{u}/E$ $(E: ヤング率),また飯田¹⁾ は <math>N_{e}$ 基準

の C_{ce} を $2.25\sigma_u/E-0.00214$ で表わされるとしている。本実験結果を **Fig. 9**, **Fig. 10** に示す。母材についてみると C_{ce} および C_{fe} はいずれもややばらついているが,飯田,Manson 両者の直線で近似できるといえよう。 また塑性ひずみ振幅 ϵ_{pa} と破断寿命 N_f との関係における定数 C_{fp} については,Manson5 および Coffin6 は実験式から,また Martin7 は理論式から静的引張破壊で得られる静破壊延性 ϵ_f と密接な関係があることをみい

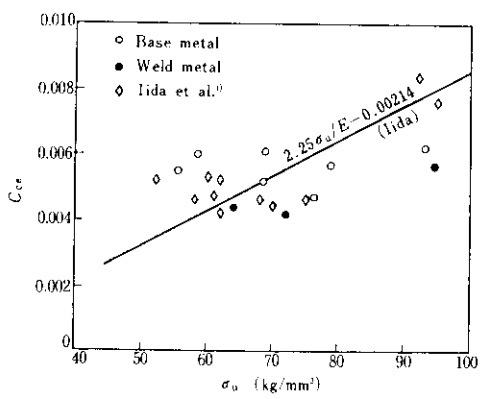


Fig. 9 Relation between constant C_{ce} in ϵ_{ca} - N_c curve and tensile strength σ_u

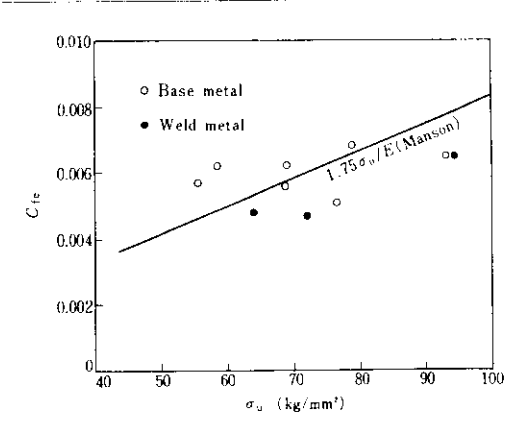


Fig. 10 Relation between constant $C_{\rm fe}$ in $\epsilon_{\rm ea}$ - $N_{\rm f}$ curve and tensile strength $\sigma_{\rm u}$

だし、それぞれ $0.5\epsilon_1^{0.6}$, $0.25\epsilon_f$, $1/2\sqrt{2}\epsilon_f$ なる値与えている。本実験の結果をこれらの関係直線とともに Fig. 11 に示す。図よりわかるように、母材については $C_{\rm fp}$ は $0.424\epsilon_f$ となり、Manson、Martin の結果の中間に位置している。 また塑性ひずみ振幅 $\epsilon_{\rm pa}$ と亀裂発生寿命 $N_{\rm e}$ との関係における $C_{\rm ep}$ を静破壊延性 ϵ_f に対して表示すれば Fig. 12 ようになり、母材についてみると $C_{\rm ep}$ は $0.32\epsilon_f$ であり、飯田ら 80 の値 $0.4\epsilon_f$ とほぼ一致する。

一方、 $\epsilon_{\rm ea}-N_{\rm c}$ あるいは $N_{\rm f}$ の直線の勾配 $k_{\rm ce}$ あるいは $k_{\rm fe}$ は、静的引張強さ $\sigma_{\rm u}$ または降伏比 $\sigma_{\rm 0.2}/\sigma_{\rm u}$ とよい相関があるとされている $^{\rm 10}$ 。本実験でえられた $k_{\rm fe}$ に関する結果を ${\bf Fig.~13}$ に示す。

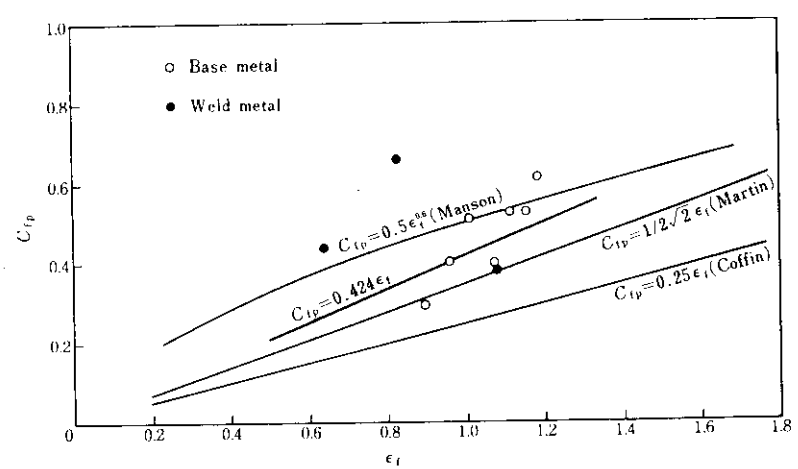


Fig. 11 Relation between constant $C_{\rm fp}$ in $\epsilon_{\rm pa}$ - $N_{\rm f}$ curve and fracture ductility $\epsilon_{\rm f}$

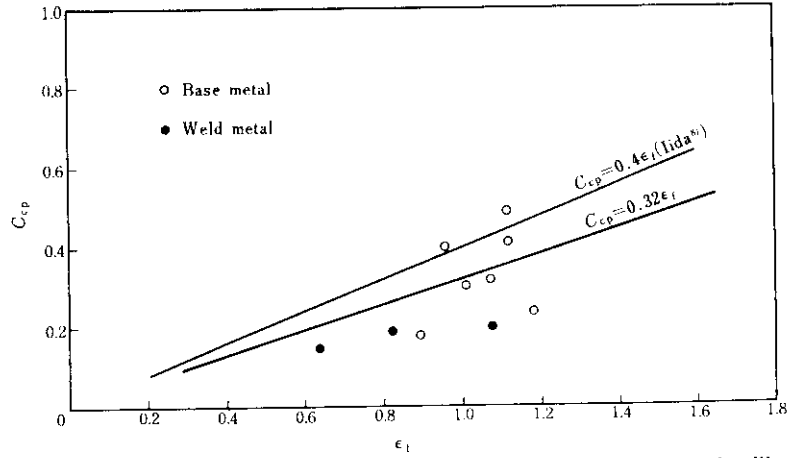


Fig. 12 Relation between constant $C_{\rm cp}$ in $\epsilon_{\rm pa}$ - $N_{\rm c}$ curve and fracture ductility $\epsilon_{\rm f}$

強度が大きくなるにつれて指数 kre は小さくなっ ている。Manson は鋼種に関係なく kte は平均的 に0.12であることを求めているが、本実験結果で は $k_{\rm fe}$ は $0.08\sim0.125$ であった。また、 $k_{\rm ce}$ も $k_{\rm fc}$ と同様な変化を示し、kee の値は 0.07~0.13 であ った。さらに、 k_{ce} と k_{fe} との間には Fig. 14 に 示されるように $k_{ce}=0.98k_{fe}$ の相関関係がみられ る。次に、 $\epsilon_{pa}-N_0$ 直線の勾配 k_{fp} についての本 実験の結果を Fig. 15 に示す。図から明らかなよ うに、 $k_{\rm fp}$ の値は $0.507\sim0.614$ に分散している が、 σ_u または σ_y/σ_u の増加にともないやや減少 する傾向がみられる。Martin はヒステリシスェ ネルギーの解析より タヒロ が 0.5 であることを提唱 し, Coffin も実験結果から kp が 0.5 となること を求めている。また、Manson® も多くの材料の 実験から Arp として 0.6 を与えている。本実験の 結果は3者の値とほぼ一致している。また、 ϵ_{pa}

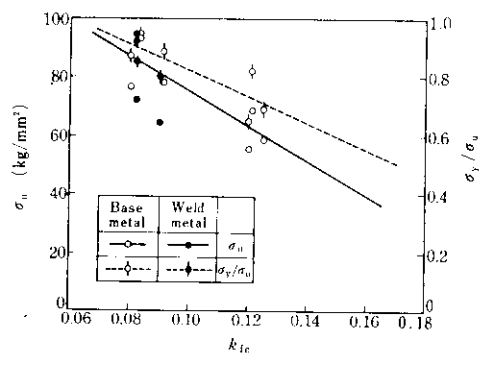


Fig. 13 Relation between exponent k_{fe} and tensile strength σ_u or yield ratio σ_y/σ_u

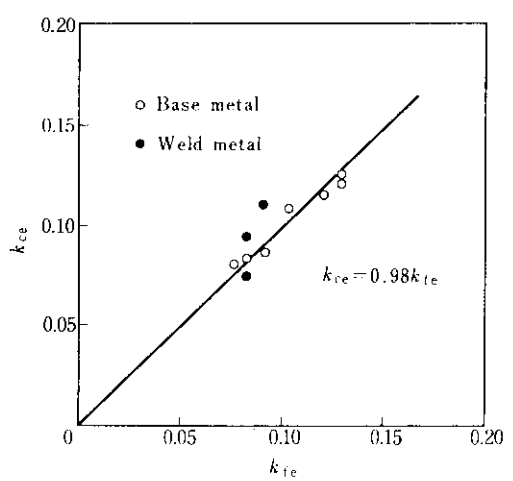


Fig. 14 Relation between exponents k_{ee} and k_{fe}

と N_c に関する指数 k_{cp} と k_{fp} との関係を **Fig. 16** に示す。**Fig. 14** に示した弾性ひずみ振幅に関する勾配の場合よりバラッキ が や 大 き い が, k_{cp} = $1.02k_{fp}$ の関係がみられる。

(2) 静的引張特性値より ← N 線図の推定

静的引張特性より疲労特性を推定する方法として, Manson^{4,9)} が提唱した共通勾配法および4点法がある。彼らは29種にわたる金属材料についての広範な実験結果をもとに

 $\epsilon_{\text{ta}} = 1.75 (\sigma_{\text{u}}/E) N_{\text{f}}^{-0.12} + \cancel{N}_{\text{t}} \cdot \epsilon_{\text{f}}^{0.6} \cdot N_{\text{f}}^{-0.6}$ なる基本式を導いている。すなわち, ϵ_{pa} および $\epsilon_{\text{ea}} - N_{\text{f}}$ 線図は,静的引張試験で求められた ϵ_{f} と σ_{u} を用いて, $N_{\text{f}} = 1$ の軸上での対数弾性ひずみ振幅 $1.75\sigma_{\text{u}}/E$ と対数塑性ひずみ振幅 $\cancel{N} \in \mathbb{N}$ を求め,それぞれ共通勾配 -0.12 と -0.6 の直線を引けばよい。 4 点法は弾性ひずみ成分 に つい て

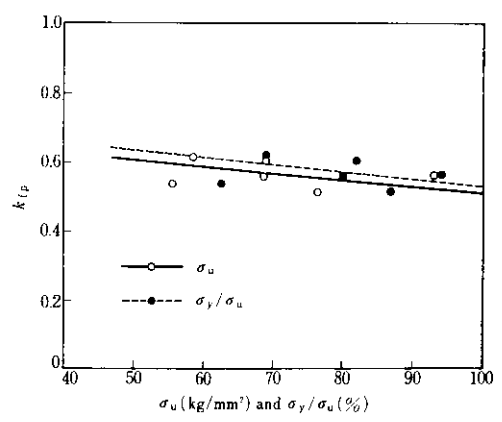


Fig. 15 Relation between exponent $k_{\rm fp}$ and tensile strength $\sigma_{\rm u}$ or yield ratio $\sigma_{\rm v}/\sigma_{\rm u}$

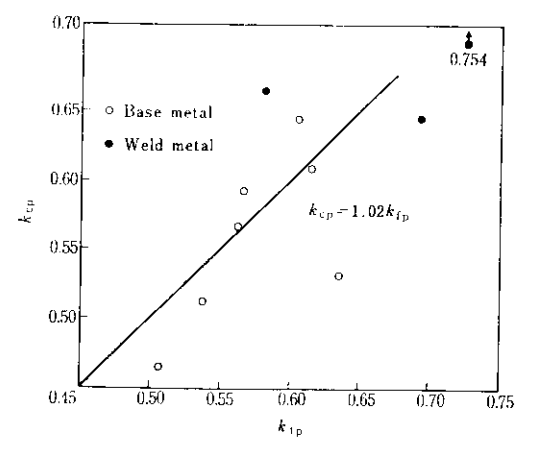


Fig. 16 Relation between exponents $k_{\rm cp}$ and $k_{\rm fp}$

 $N_{\rm f}$ = $\frac{1}{2}$ に対し $\epsilon_{\rm ex}$ = $1.25\sigma_{\rm f}/E$, また, $N_{\rm f}$ = 10^5 に対して同じく $0.45\sigma_{\rm u}/E$ を通る直線を引き、この直線の $N_{\rm f}$ = 10^4 における $\epsilon_{\rm ex}$ の値を読みとり、0.5 ($0.0132 - \epsilon_{\rm ex}$ */1.91) を求め、この値をその点での $\epsilon_{\rm pa}$ とし、さらに $N_{\rm f}$ = 10 に対する $\epsilon_{\rm pa}$ を $\frac{1}{2}$ をして求め、この両点を通る直線を塑性ひ

ずみ成分に関する推定直線とする手法である。 本実験結果についてその妥当性を検 討 し てみ た。まず,共通勾配法または 4 点法に必要な定数 を **Table 5** に示す。こ の よ 5 に し て 求 め た RIVER ACE 60 と RIVER ACE K-O の ϵ -N線図の例を **Fig. 17**, **Fig. 18** に示す。母材につ

Table 5 Material constants of ϵ -N curve estimated by similar gradient and 4 points method for various materials

| | | | N | Material cons | tant for Mans | on | | | | |
|---------------|-------|--|---|---|--|--|--|--|--|--|
| | | Similar gradi | ent method | 4 points method | | | | | | |
| Steel | | 1.75 σ _u /E _{εoa} (1) | $\frac{1}{2} \epsilon_{\mathfrak{t}}^{\mathfrak{d},\mathfrak{s}}$ $\epsilon_{\mathfrak{pa}}(1)$ | $\frac{1.25 \sigma_{\rm f}/E}{\epsilon_{\rm on}(\frac{1}{4})}$ | $\begin{array}{ c c }\hline 0.45 \ \sigma_{\rm u}/E \\ \hline \epsilon_{\rm es}(10^{\rm s}) \end{array}$ | $\frac{1}{8} \cdot \frac{34}{6}$ $\epsilon_{pa}(10^1)$ | $ \frac{\frac{1}{2} \left(\frac{0.0132 - \epsilon_{\text{ea}}^*}{1.91} \right)}{\epsilon_{\text{pa}}(10^4)} $ | | | |
| | B. M. | 0.00463 | 0.521 | 0.00750 | 0.00119 | 0.1317 | 0.00300 | | | |
| K5D | W. M. | 0.00536 | 0.522 | 0.00776 | 0.00138 | 0.1291 | 0.00296 | | | |
| K5E | В. М. | 0.00487 | 0.537 | 0.00775 | 0.00125 | 0. 1367 | 0.00300 | | | |
| | В. М. | 0.00573 | 0.532 | 0.00820 | 0.00147 | 0. 1351 | 0.00294 | | | |
| RIVER ACE 60 | W. M. | 0.00600 | 0.445 | 0.00751 | 0.00154 | 0.1081 | 0,00292 | | | |
| RIVER ACE 70 | В. М. | 0.00637 | 0.467 | 0.00789 | 0.00164 | 0.1146 | 0.00289 | | | |
| | В. М. | 0.00775 | 0.486 | 0.00967 | 0.00199 | 0.1208 | 0.00277 | | | |
| RIVER ACE K-O | W.M. | 0.00788 | 0.382 | 0.00967 | 0.00203 | 0.0892 | 0.00275 | | | |
| SA533 | В. М. | 0.00572 | 0.502 | 0.00746 | 0.00147 | 0.1257 | 0.00290 | | | |
| KLN9 | В. М. | 0.00656 | 0.552 | 0.00992 | 0.00169 | 0.1413 | 0.00285 | | | |

B. M.: Base metal W. M.: Weld metal

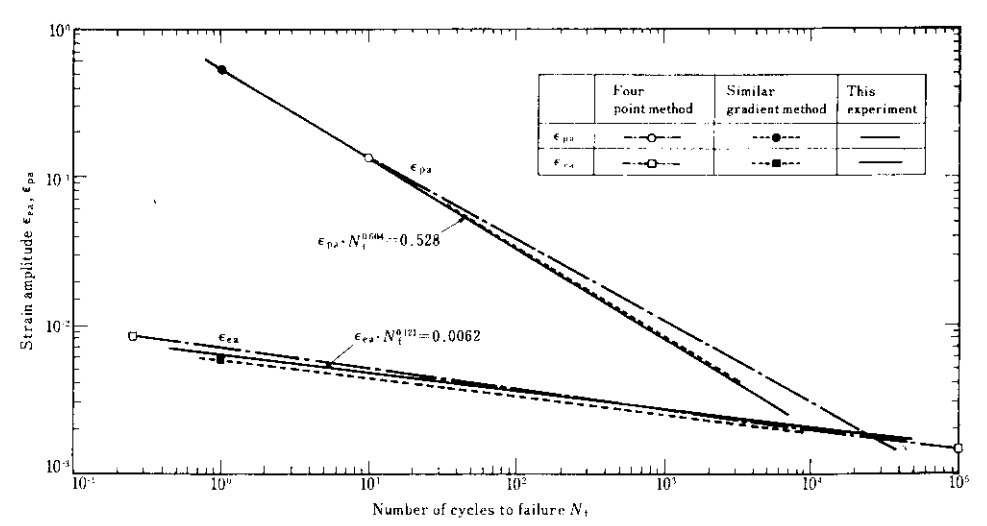


Fig. 17 Estimated ε-N_f curves of RIVER ACE 60 (Base metal)

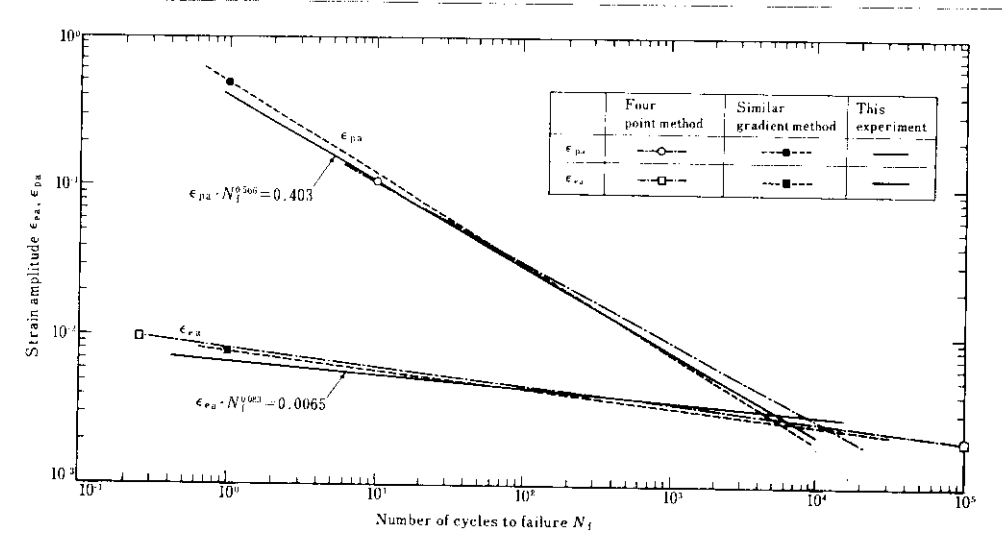


Fig. 18 Estimated ϵ - N_f curves of RIVER ACE K-O (Base metal)

いての共通勾配法による $\epsilon_{\text{pa}}-N_r$ 推定曲線は実測値による曲線と同等か、いくぶん長寿命側に位置しているが、ほとんど差はみられない。このことは他鋼種についても同様である。同じく $\epsilon_{\text{ea}}-N_r$ 推定曲線については、実測値の曲線にくらべていくぶん短寿命側に位置しているが、高張力鋼ほどその差は僅少になっている。

4.2 ひずみ繰返しによる応力の変化

ひずみ制御低サイクル疲労試験では,ひずみ振幅は一定に保持されるため,荷重(真応力)が材

料の特性ならびに加えられたひずみ振幅値によって変化する。本実験でえられた軸方向真応力の繰返し数にともなう変化を Fig. 19, Fig. 20 に示す。図から明らかのように,繰返し初期の段階で応力は漸増したのち安定するいわゆる繰返し硬化挙動を示す材料,あるいはそれとは逆に応力が漸減するいわゆる繰返し軟化挙動を示す材料に区別される。前者の挙動を示すものは 50kg/mm² 級造船用鋼 (K5D, K5E) であり,調質高張力鋼や原子炉用鋼は後者の現象がみられることがわかる。この繰返し硬化あるいは繰返し軟化挙動は破

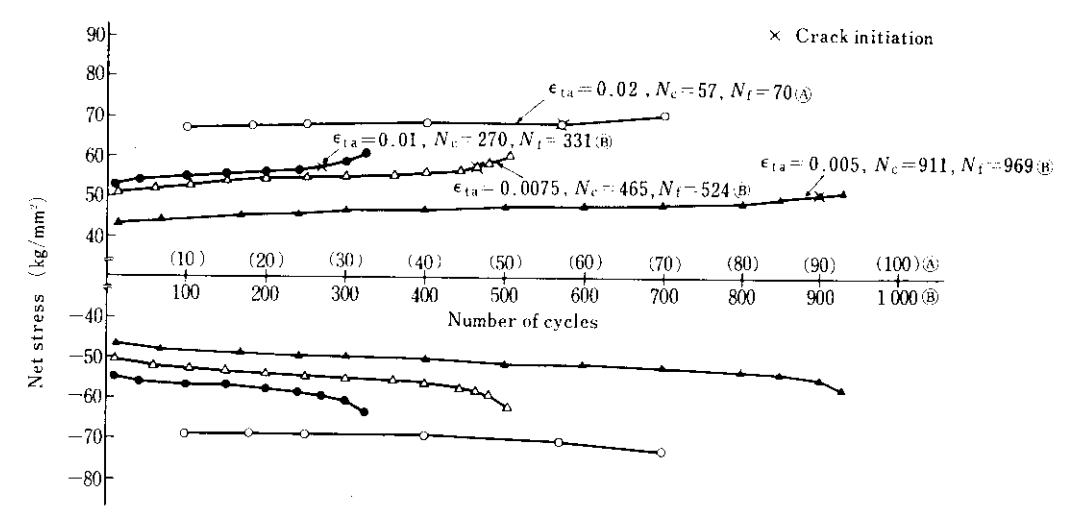


Fig. 19 Change in net stress during strain controlled low cycle fatigue for K5D (Base metal)

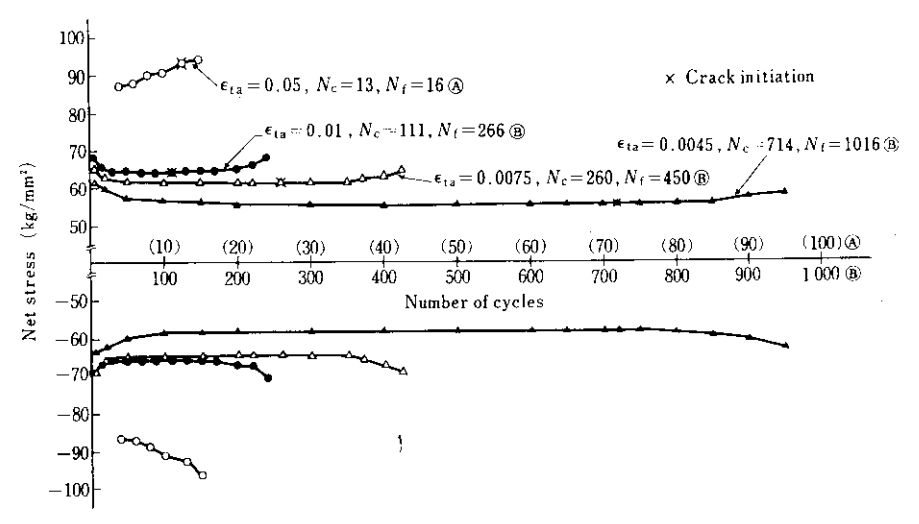


Fig. 20 Change in net stress during strain controlled low cycle fatigue for RIVER ACE 60 (Base metal)

断寿命 $N_{\rm f}$ の20~30%で終了し、その後真応力はほとんど一定値を保っている。J. C. Grosskrutz¹⁰によれば、この繰返し挙動は加工硬化係数nと関連があり、nが0.1を境として大きければ繰返し硬化挙動を、小さければ繰返し軟化挙動を示すとされており、 $Table\ 3$ にある各鋼材のnの値とつきあわせてみると、本実験の結果とも定性的には一致している。

Fig. 21 は繰返し初期の数サイクルのときに得られた応力 σ_{R1} と N_c 時の応力 σ_{RC} の差 $\sigma_{R1} - \sigma_{RC}$ を ϵ_{1a} について示したものであり、これを用いて、 ϵ_{1a} が 0.01, 0.05 および 0.1 のときの $\sigma_{R1} - \sigma_{RC}$ を

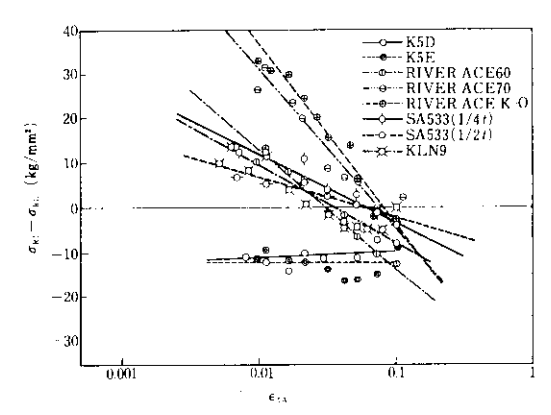


Fig. 21 Cyclic softening or hardening properties of various materials against controlled strain amplitude

各鋼材の引張強さについて図示すると Fig. 22 になる。 $\epsilon_{ta}=0.01$ についてみると、約 $60 kg/mm^2$ をさかいにしてそれより低強度材は繰返し硬化しているが、高強度材は軟化している。また、高強度材でも ϵ_{ta} が 0.1 程度に大きくなると硬化型へと変化している。応力変化の原因については、バウシンガー効果など繰返し変形時のすべり機構に

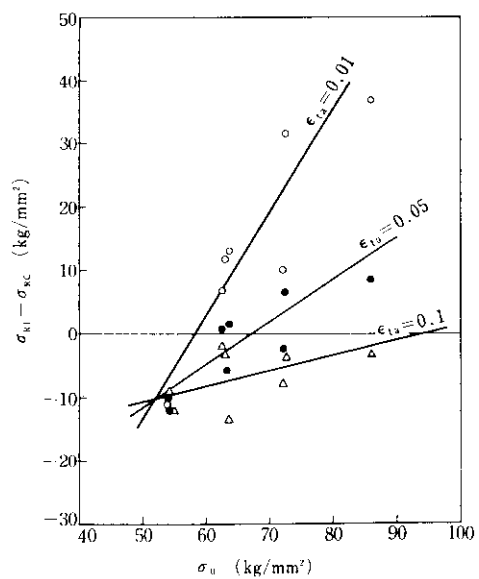


Fig. 22 Relation between cyclic softening or hardening properties and tensile strength σ_u during strain controlled low cycle fatigue

関連するものが考えられるが明確でない。なお, 溶接継手については鋼種にかかわらず繰返し軟化 ・挙動を示している。

4.3 亀裂発生寿命と破断寿命との関係

ひずみ制御低サイクル疲労試験において,亀裂発生から破断までの繰返し回数 (N_f-N_e) と破断寿命 N_f との関係を RIVER ACE 60 と RIVER ACE K-Oについて図示すれば,Fig. 23 と Fig. 24 のようになり, N_f-N_e と N_f との間には次式が成り立つ。

 $N_f - N_c = A \cdot (N_f)^B$ (10) ここで A および B は材料定数である。各種鋼材 に関する本実験で求められた(10)式 の 係 数 を **Table 6** に一括して示す。指数 B は本実験によればほぼ 1 に近く,亀裂伝播寿命と N_f はほぼ比例 関係が成り立つといえる。また,定数A は亀裂伝

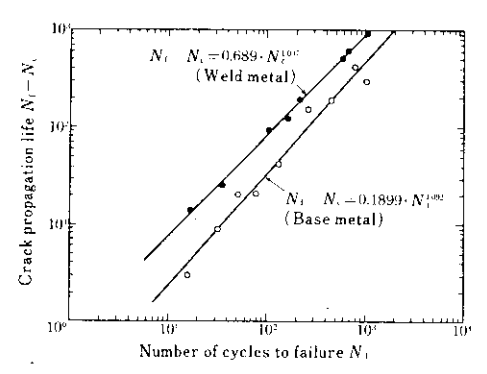


Fig. 23 Relation between crack propagation life and number of cycles to failure for RIVER ACE 60

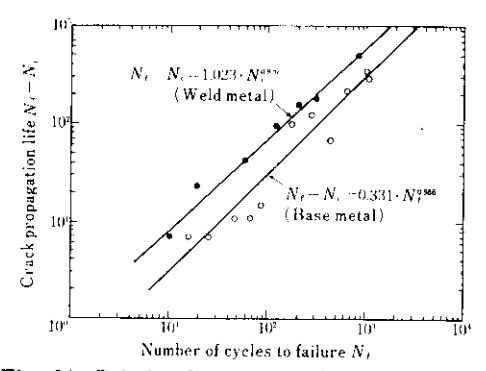


Fig. 24 Relation between crack propagation life and number of cycles to failure for RIVER ACE K-O

Table 6 Material constants of equation $N_f - N_c = A \cdot (N_f)^B$ for various materials

| C+1 | Base | metal | Weld metal | | | |
|---------------|-------|-------|------------|-------|--|--|
| Steel | A | В | A | В | | |
| K5D | 0.429 | 0.807 | 0.652 | 1.040 | | |
| K5E | 0,250 | 1.055 | | _ | | |
| RIVER ACE 60 | 0.190 | 1.092 | 0.689 | 1.037 | | |
| RIVER ACE 70 | 0.568 | 0.961 | | | | |
| RIVER ACE K-O | 0.331 | 0.986 | 1.023 | 0.920 | | |
| SA533 (¼ t) | 0.564 | 1.027 | | | | |
| SA533 (½ t) | 0.556 | 1.033 | | | | |
| KLN9 | 0.136 | 0.955 | | | | |

播寿命率を意味するが、鋼材によってかなりのバラッキを示している。特に溶接継手の亀裂伝播に要する寿命は全寿命の60~90%に相当しており、 亀裂の発生が非常に早いことは注意を要する。

4.4 ASME code Sec. III の疲労設計 線図と供試材の疲労曲線

各鋼種について得られた母材および溶接継手の 疲労曲線と、ASME code Sec.Ⅲ ボイラーおよ び圧力容器規則、疲労設計線図および低合金鋼に 対する最適曲線の関係を Fig. 25~Fig. 31 に示 す。図からわかるように、いずれの供試 鋼とも ASME の規格に対して十分安全側に位置してお

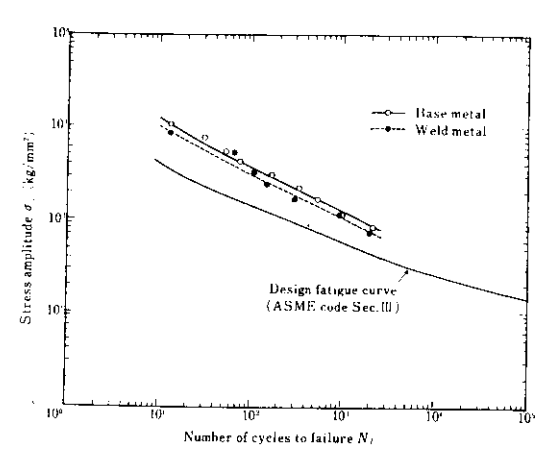


Fig. 25 $\sigma_{\rm a}$ - $N_{\rm f}$ curves of K5D

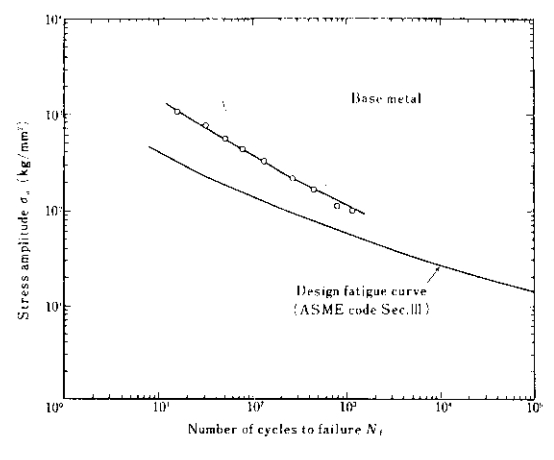
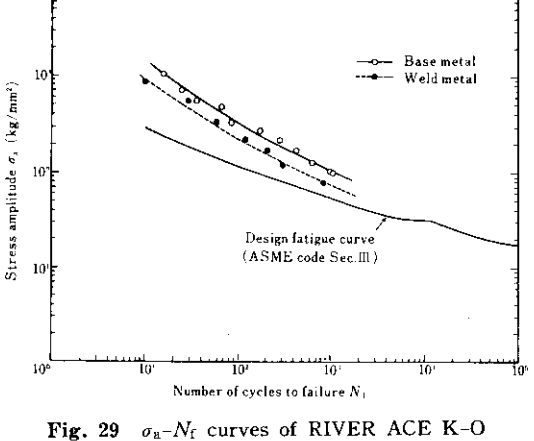


Fig. 26 σ_{a} N_f curves of K5E



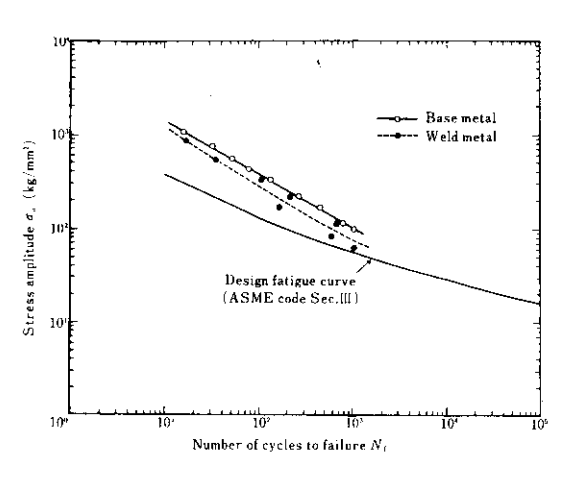


Fig. 27 $\sigma_{\rm a}$ - $N_{\rm f}$ curves of RIVER ACE 60

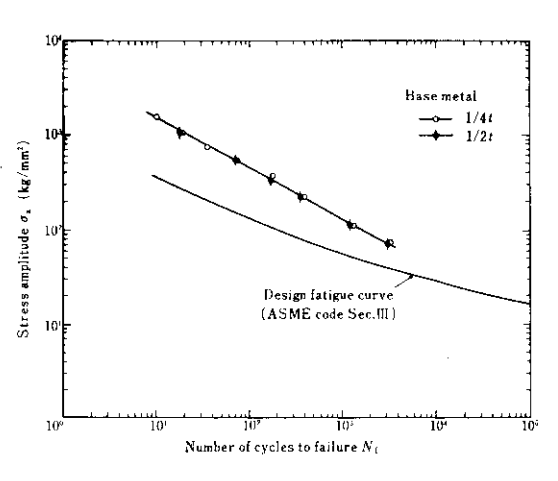


Fig. 30 σ_{a} - N_{f} curves of ASME SA533

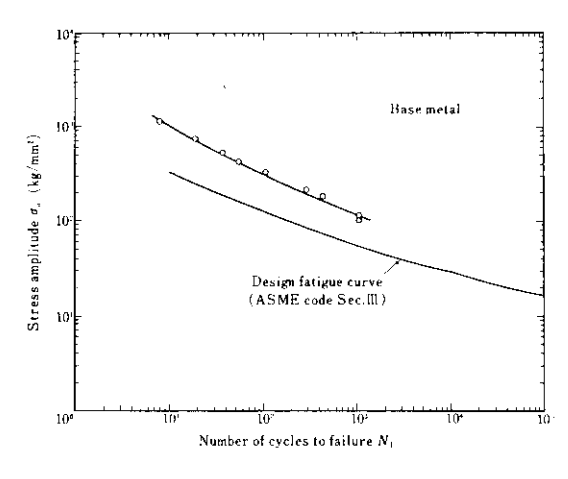


Fig. 28 $\sigma_{\rm a}$ - $N_{\rm f}$ curves of RIVER ACE 70

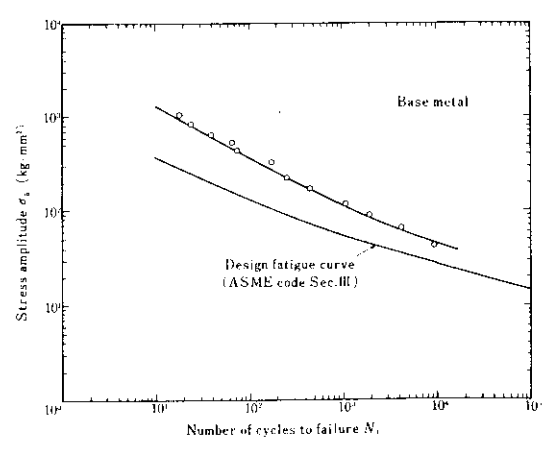


Fig. 31 σ_n - N_1 curves of KLN 9

り, $N<10^3$ 回強度についてみると,母材で規格 値の $50\sim70\%$,溶接継手で $20\sim60\%$ 高いことがわ かる。

4.5 破面観察

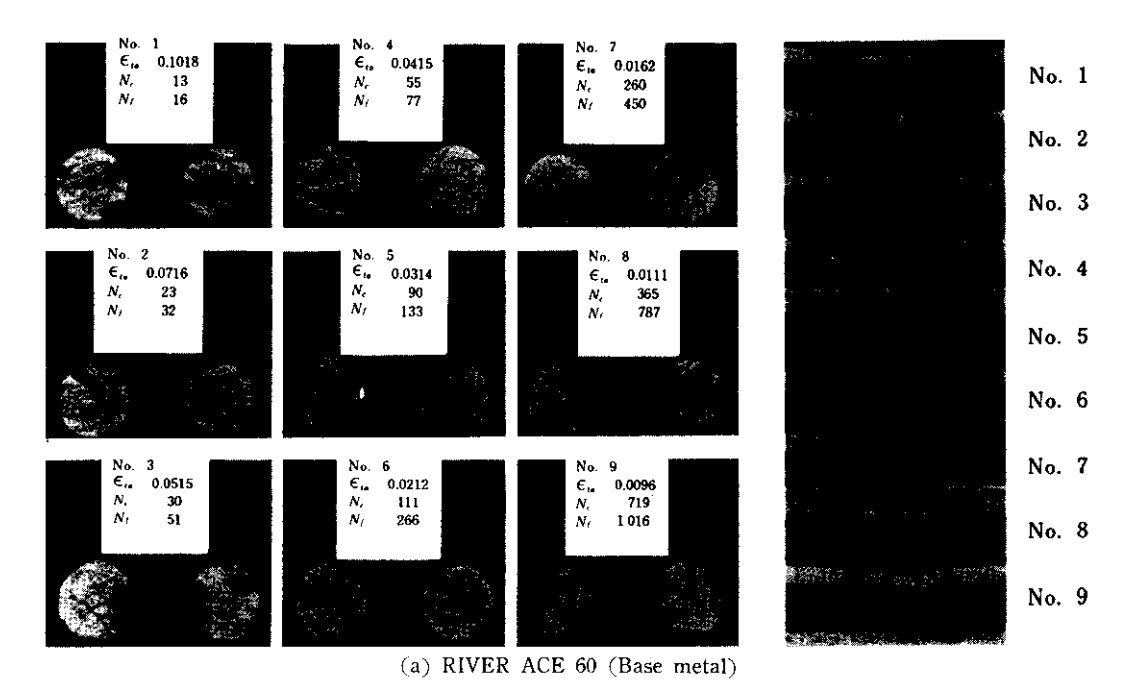
ひずみ制御低サイクル疲労試験片の破断状況の 例を RIVER ACE 60 と RIVER ACE K-Oにつ いて Photo. 1 に示す。疲労亀裂の発生個所はほ とんど試験片の最小断面部であったが, なかには それ以外の個所から発生することもあった。それ らの亀裂は円周方向に数個所発生し、 互 に 進 展 し、合体して破断にいたった。しかし、かならず しも最初に発生した亀裂が進展し、破断するとは 限らず停留することも多い。引張強さが高い RIVER ACE K-O 母材では、ひずみ振幅のごく 大きいものについては試験片全周に数多く発生し た亀裂が少しずつ進展し、円周切欠状になったの ち脆性的破断をしたと考えられるもの も 見られ た。溶接継手の亀裂はX線検査では検知しえない ような微小な溶接欠陥から発生しているものもあ り、疲労を考慮した構造物の溶接施工は十分に注 意する必要があろう。

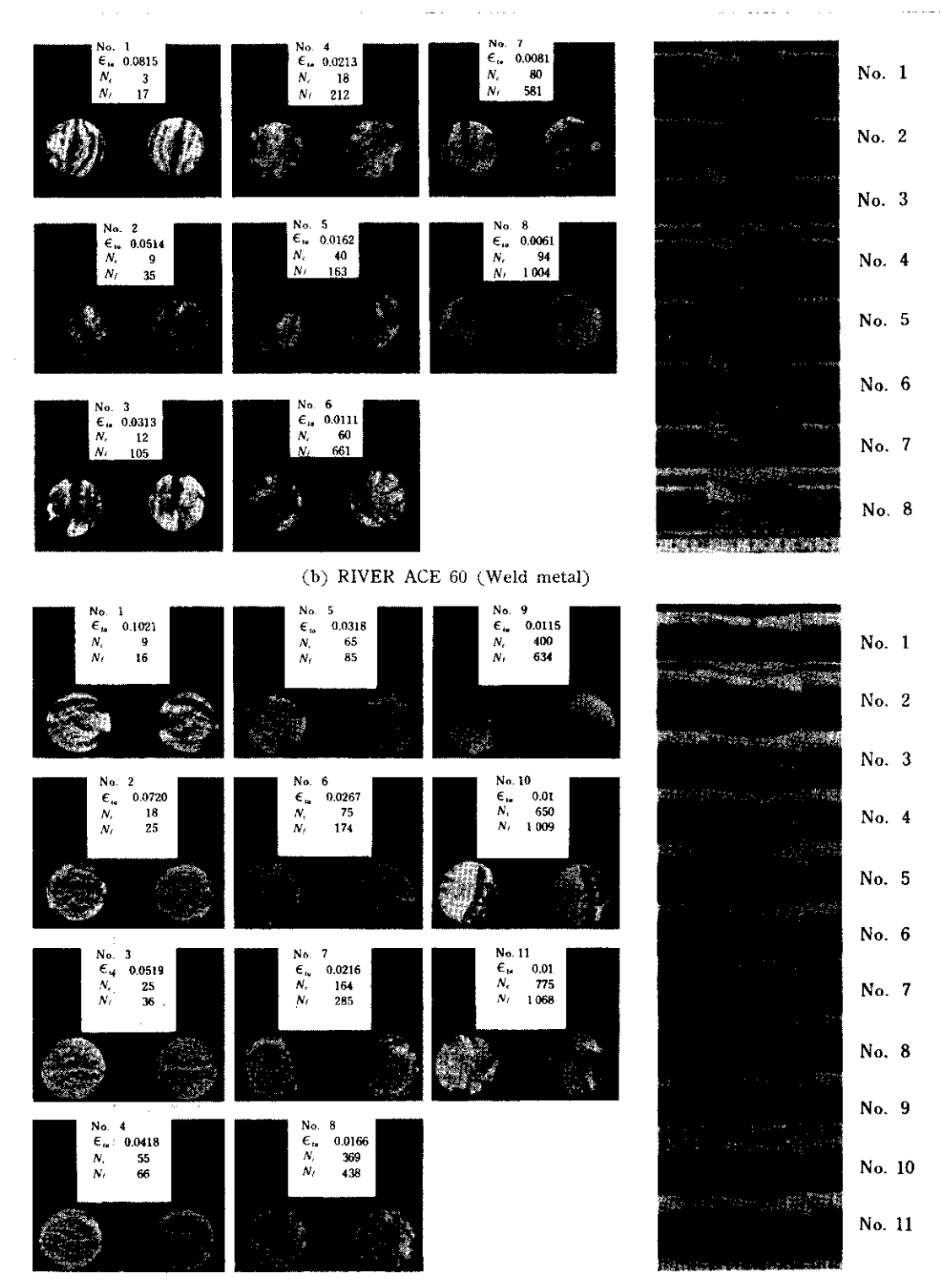
また、走査型電子顕微鏡による破面観察の例を Photo. 2 に示す。れこらは低サイクル疲労破面 特有のパターンであり、特にタイヤートラック模様はひずみ振幅 ϵω が 0.02 以下の長寿命であった破面についてみられる。また、これよりひずみ振幅の大きく短寿命のものでは静的引張破面に近いディンプル模様がみられている。

5. 総 括

50kg/mm² 級造船用鋼から 80kg/mm² 調質高 張力鋼にいたる7種の鋼材の母材および溶接継手 について、静的引張試験および径方向ひずみ制御 低サイクル疲労試験を行い次の結論をえた。

- (1) ひずみ制御低サイクル疲労試験において,真ひずみ振幅 ϵ と亀裂発生回数 N_c および破断寿命 N_f との間には,Manson-Coffin の関係 $\epsilon \cdot N^* = C$ が成り立ち,各鋼材について弾性および塑性ひずみ振幅についての指数および係数を求めた。また,溶接継手の低サイクル疲労強度,とくに N_c 基準の場合は非常に微小な溶接欠陥によって大きな影響をうける。
- (2) 静的引張諸特性と低サイクル疲労特性との 関係を検討し、それらをもとにして、従来から提 唱されている各種鋼材の低サイクル疲労曲線の推 定法の妥当性を確認した。





(c) RIVER ACE K-O (Base metal)

Photo. 1 Low cycle fatigue fractured specimens

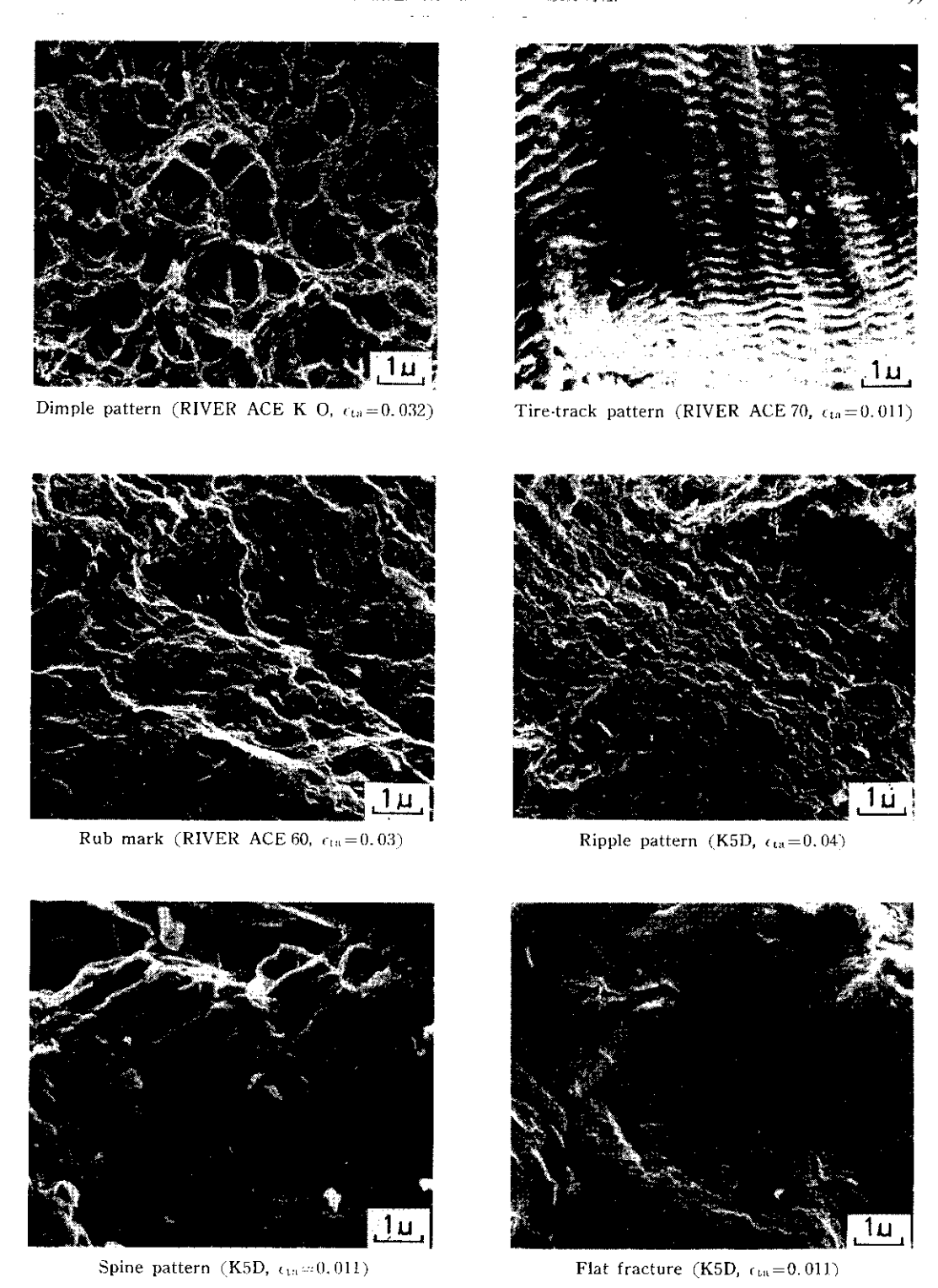


Photo. 2 Examples of low cycle fatigue fractographs

- (3) ひずみ制御低サイクル疲労試験においては、公称引張強さの大きい鋼材は繰返し軟化挙動を、また小さい鋼材は繰返し硬化挙動を示す。
- (4) 亀裂伝播寿命 $(N_f N_e)$ と破断寿命 (N_f) との間には $N_f N_e = A \cdot (N_f)^B$ の関係が成り立
- ち、B はおよそ1であるが、A は鋼材によりきまる定数である。
- (5) 供試材 7 種の母材および溶接継手の疲労曲線は、ASME code Sec.Ⅲ ボイラーおよび圧力容器規則に対していずれも十分安全側にある。

参考文献

- 1) 飯田: 溶接学会誌, 37 (1968) 6, 542
- 2) 堀田, 村木, 石黒, 石井, 関口:日本造船学会論文集, (1968) 124, 341
- 3) 日本造船研究協会: RR 811 委員会共同研究資料 RR 811-F-3 (1974)
- 4) S.S. Manson: Thermal Stress and Low Cycle Fatigue, (1966), [McGrow Hill]
- 5) S. S. Manson: NASA TMX-52189, (1966)
- 6) L.F. Coffin and J.F. Tavernell: Trans. ASM, 51 (1959), 438
- 7) D. E. Martin: Trans. ASME, Ser. D., (1921) April, 565
- 8) 安藤, 飯田, 塚田, 福田:日本機械学会講演論文集, (1968) 188, 137
- 9) S. S. Manson: Experimental Mech., (1965), July
- 10) J. C. Grosskreutz: Met. Trans., 3 (1972), 1255